

DIODE-PENTODE with variable mutual conductance for use as H.F., I.F. and L.F. amplifier

DIODE-PENTHODE à pente variable pour l'utilisation comme amplificatrice H.F., M.F. et B.F.

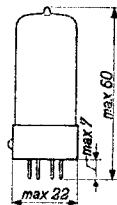
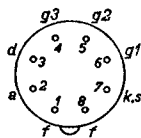
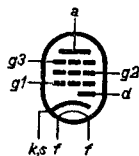
DIODE-PENTHODE mit veränderlicher Steilheit zur Verwendung als H.F.-, Z.F.- und N.F. Verstärker

Heating: indirect by A.C. or D.C.;
series supply

Chauffage: indirect par C.A. ou C.C.: $V_f = 12,6$ V
alimentation en série $I_f = 0,1$ A

Heizung: indirekt durch Wechsel-
oder Gleichstrom;
Serienpeisung

Dimensions in mm
Dimensions en mm
Abmessungen in mm



Capacitances
Capacités
Kapazitäten

Pentode section
Partie penthode
Penthodenteil

Diode section
Partie diode
Diodenteil

$$C_a = 5,1 \text{ pF}$$

$$C_{dk} = 3,8 \text{ pF}$$

$$C_{gl} = 4,5 \text{ pF}$$

$$C_{df} < 0,02 \text{ pF}$$

$$C_{agl} < 0,002 \text{ pF}$$

$$C_{gkf} < 0,05 \text{ pF}$$

Between diode and pentode sections
Entre les parties diode et penthode
Zwischen Dioden- und Penthodenteil

$$C_{dgl} < 0,0015 \text{ pF}$$

$$C_{da} < 0,15 \text{ pF}$$

DIODE-PENTODE with variable mutual conductance for use as R.F., I.F. or A.F. amplifier

DIODE-PENTHODE à pente variable pour l'utilisation en amplificatrice H.F., M.F. ou B.F.

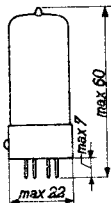
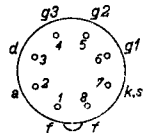
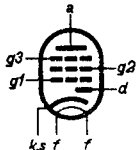
DIODE-PENTODE mit veränderlicher Steilheit zur Verwendung als HF-, ZF- oder NF-Verstärker

Heating : indirect by A.C. or D.C.;
series supply

Chauffage: indirect par C.A. ou C.C.; $V_f = 12,6$ V
alimentation série

Heizung : indirekt durch Wechsel-
oder Gleichstrom; $I_f = 100$ mA
Serienpeisung

Dimensions in mm
Dimensions en mm
Abmessungen in mm



Base, culot, Sockel: Rimlock

Capacitances	Pentode section	Diode section
Capacités	Partie penthode	Partie diode
Kapazitäten	Pentodenteil	Diodenteil

$$C_a = 5,2 \text{ pF} \quad C_d = 3,3 \text{ pF}$$

$$C_{g1} = 4,1 \text{ pF} \quad C_{df} < 0,02 \text{ pF}$$

$$C_{af} < 0,002 \text{ pF}$$

$$C_{g1f} < 0,05 \text{ pF}$$

Between diode and pentode sections
Entre les parties diode et penthode
Zwischen Dioden- und Pentodenteil

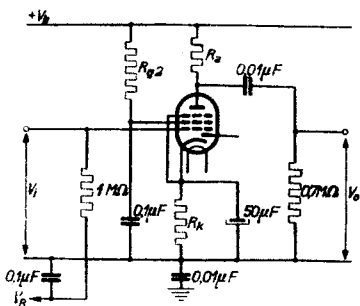
$$C_{dg1} < 0,0015 \text{ pF}$$

$$C_{da} < 0,15 \text{ pF}$$

Operating characteristics of the pentode section as
H.F. or I.F. amplifier
Caractéristiques d'utilisation de la partie penthode
comme amplificatrice H.F. ou M.F.
Betriebsdaten des Penthodenteiles als H.F.- oder
Z.F. Verstärker

V _a =V _b =	100	170	200	V			
V _{g3} =	0	0	0	V			
R _{g2} =	56	56	76	kΩ			
R _k =	310	310	310	Ω			
V _{g1} =	-1,2	-16	-2	-28	-2	-34	V
V _{g2} =	50	-	85	-	85	-	V
I _a =	2,8	-	5,0	-	5,0	-	mA
I _{g2} =	0,9	-	1,5	-	1,5	-	mA
S =	1700	17	2000	20	2000	20	μA/V
R _i =	0,85	>10	0,9	>10	1,0	>10	MΩ
μg ₂ g ₁ =	18	-	18	-	18	-	
R _{eq} =	5,8	-	7,5	-	7,5	-	kΩ

Operating characteristics of the pentode section as
resistance coupled L.F. amplifier
Données caractéristiques de la partie penthode comme
amplificatrice B.F. avec couplage à résistances
Betriebsdaten des Penthodenteiles als N.F. Verstärker
mit Widerstandskopplung



Operating characteristics of the pentode section as R.F. or I.F. amplifier

Caractéristiques d'utilisation de la partie penthode en amplificatrice H.F. ou M.F.

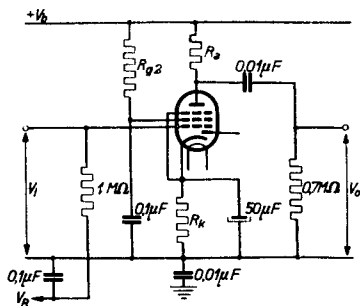
Betriebsdaten des Pentodenteiles als HF- oder ZF-Verstärker

$V_a = V_b =$	100	170	200	V		
$V_{g3} =$	0	0	0	V		
$R_{g2} =$	56	56	76	kΩ		
$R_k =$	310	310	310	Ω		
$V_{g1} =$	1,2	-16	-2	-28	-34	V
$V_{g2} =$	50	-	85	-	85	- V
$I_a =$	2,8	-	5,0	-	5,0	- mA
$I_{g2} =$	0,9	-	1,5	-	1,5	- mA
$S =$	1700	17	2000	20	2000	20 μA/V
$R_i =$	0,85	>10	0,9	>10	1,0	>10 MΩ
$\mu g_2 g_1 =$	16	-	16	-	16	-
$R_{eq} =$	5,8	-	7,5	-	7,5	- kΩ

Operating characteristics of the pentode section as resistance coupled A.F. amplifier

Caractéristiques d'utilisation de la partie penthode en amplificatrice B.F. à couplage par résistance

Betriebsdaten des Pentodenteiles als NF-Verstärker mit Widerstandskopplung



This valve can be used without special precautions against microphonic effect in circuits in which the input voltage $V_i \geq 10$ mV for an output of 50 mW of the output valve ($R_g = 1 \text{ M}\Omega$)

Ce tube peut être utilisé sans précautions spéciales contre l'effet microphonique dans des circuits dont la tension d'entrée $V_i \geq 10$ mV pour une puissance de 50 mW du tube de sortie ($R_g = 1 \text{ M}\Omega$)

Diese Röhre darf ohne spezielle Massnahmen gegen Mikrophonie verwendet werden in Schaltungen die für eine Eingangsspannung $V_i \geq 10$ mV eine Leistung von 50 mW der Endröhre ergeben ($R_g = 1 \text{ M}\Omega$)

A. $V_b = 170 \text{ V}; R_a = 0,22 \text{ M}\Omega; R_g2 = 0,82 \text{ M}\Omega; R_k = 2,7 \text{ k}\Omega$

$-V_R$ (V)	Ia (mA)	Ig2 (mA)	$\frac{V_o}{V_i}$	$d_{tot} (\%)$ ($V_o=3V_{eff}$)	$d_{tot} (\%)$ ($V_o=5V_{eff}$)	$d_{tot} (\%)$ ($V_o=8V_{eff}$)
0	0,50	0,17	80	0,8	1,0	1,2
5	0,38	0,12	23	1,5	2,5	4,0
10	0,28	0,09	14	1,9	3,2	5,0
15	0,20	0,06	9	2,6	4,2	6,5
20	0,14	0,04	6	3,6	6,0	9,0

B. $V_b = 170 \text{ V}; R_a = 0,1 \text{ M}\Omega; R_g2 = 0,33 \text{ M}\Omega; R_k = 1,5 \text{ k}\Omega$

$-V_R$ (V)	Ia (mA)	Ig2 (mA)	$\frac{V_o}{V_i}$	$d_{tot} (\%)$ ($V_o=3V_{eff}$)	$d_{tot} (\%)$ ($V_o=5V_{eff}$)	$d_{tot} (\%)$ ($V_o=8V_{eff}$)
0	1,05	0,37	68	0,75	0,8	1,1
5	0,71	0,25	20	2,2	3,2	5,0
10	0,48	0,17	10	2,4	3,7	5,5
15	0,30	0,11	6	3,0	4,5	7,0
20	0,16	0,07	3,5	5,2	8,0	12

C. $V_b = 100 \text{ V}; R_a = 0,22 \text{ M}\Omega; R_g2 = 0,82 \text{ M}\Omega; R_k = 2,7 \text{ k}\Omega$

$-V_R$ (V)	Ia (mA)	Ig2 (mA)	$\frac{V_o}{V_i}$	$d_{tot} (\%)$ ($V_o=3V_{eff}$)	$d_{tot} (\%)$ ($V_o=5V_{eff}$)
0	0,29	0,09	75	0,9	1,1
2,5	0,22	0,07	27	2,6	4,4
5	0,17	0,05	15	3,2	5,0
7,5	0,13	0,04	10	4,0	6,5
10	0,10	0,03	7	5,2	8,0

This valve can be used without special precautions against microphonic effect in circuits in which the input voltage $V_i \geq 10$ mV for an output of 50 mW of the output valve

Ce tube peut être utilisé sans précautions spéciales contre l'effet microphonique dans des circuits dont la tension d'entrée $V_i \geq 10$ mV pour une puissance de 50 mW du tube de sortie

Diese Röhre darf ohne spezielle Massnahmen gegen Mikrophonie verwendet werden in Schaltungen die für eine Eingangsspannung $V_i \geq 10$ mV eine Leistung von 50 mW der Endröhre ergeben

A. $V_b = 170$ V; $R_a = 0,22$ MΩ; $R_g2 = 0,82$ MΩ; $R_k = 2,7$ kΩ

$-V_R$ (V)	I_a (mA)	I_{g2} (mA)	$\frac{V_o}{V_i}$	$d_{tot} (\%)$ ($V_o=3V_{eff}$)	$d_{tot} (\%)$ ($V_o=5V_{eff}$)	$d_{tot} (\%)$ ($V_o=8V_{eff}$)
0	0,50	0,17	80	0,8	1,0	1,2
5	0,38	0,12	23	1,5	2,5	4,0
10	0,28	0,09	14	1,9	3,2	5,0
15	0,20	0,06	9	2,6	4,2	6,5
20	0,14	0,04	6	3,6	6,0	9,0

B. $V_b = 170$ V; $R_a = 0,1$ MΩ; $R_g2 = 0,33$ MΩ; $R_k = 1,5$ kΩ

$-V_R$ (V)	I_a (mA)	I_{g2} (mA)	$\frac{V_o}{V_i}$	$d_{tot} (\%)$ ($V_o=3V_{eff}$)	$d_{tot} (\%)$ ($V_o=5V_{eff}$)	$d_{tot} (\%)$ ($V_o=8V_{eff}$)
0	1,05	0,37	68	0,75	0,8	1,1
5	0,71	0,25	20	2,2	3,2	5,0
10	0,48	0,17	10	2,4	3,7	5,5
15	0,30	0,11	6	3,0	4,5	7,0
20	0,16	0,07	3,5	5,2	8,0	12

C. $V_b = 100$ V; $R_a = 0,22$ MΩ; $R_g2 = 0,82$ MΩ; $R_k = 2,7$ kΩ

$-V_R$ (V)	I_a (mA)	I_{g2} (mA)	$\frac{V_o}{V_i}$	$d_{tot} (\%)$ ($V_o=3V_{eff}$)	$d_{tot} (\%)$ ($V_o=5V_{eff}$)
0	0,29	0,09	75	0,9	1,1
2,5	0,22	0,07	27	2,6	4,4
5	0,17	0,05	15	3,2	5,0
7,5	0,13	0,04	10	4,0	6,5
10	0,10	0,03	7	5,2	8,0

This valve can be used without special precautions against microphonic effect in circuits in which the input voltage $V_i \geq 10$ mV for an output of 50 mW of the output valve

Ce tube peut être utilisé sans précautions spéciales contre l'effet microphonique dans des circuits dont la tension d'entrée $V_i \geq 10$ mV pour une puissance de 50 mW du tube de sortie

Diese Röhre darf ohne spezielle Massnahmen gegen Mikrophonie verwendet werden in Schaltungen die für eine Eingangsspannung $V_i \geq 10$ mV eine Leistung von 50 mW der Endröhre ergeben

A. $V_b = 170$ V; $R_a = 0,22$ MΩ; $R_{g2} = 0,82$ MΩ; $R_k = 2,7$ kΩ

$-V_R$ (V)	I_a (mA)	I_{g2} (mA)	$\frac{V_o}{V_i}$	d_{tot} (%) ($V_o=3V_{eff}$)	d_{tot} (%) ($V_o=5V_{eff}$)	d_{tot} (%) ($V_o=8V_{eff}$)
0	0,50	0,17	80	0,8	1,0	1,2
5	0,38	0,12	23	1,5	2,5	4,0
10	0,28	0,09	14	1,9	3,2	5,0
15	0,20	0,06	9	2,6	4,2	6,5
20	0,14	0,04	6	3,6	6,0	9,0

B. $V_b = 170$ V; $R_a = 0,1$ MΩ; $R_{g2} = 0,33$ MΩ; $R_k = 1,5$ kΩ

$-V_R$ (V)	I_a (mA)	I_{g2} (mA)	$\frac{V_o}{V_i}$	d_{tot} (%) ($V_o=3V_{eff}$)	d_{tot} (%) ($V_o=5V_{eff}$)	d_{tot} (%) ($V_o=8V_{eff}$)
0	1,05	0,37	68	0,75	0,8	1,1
5	0,71	0,25	20	2,2	3,2	5,0
10	0,48	0,17	10	2,4	3,7	5,5
15	0,30	0,11	6	3,0	4,5	7,0
20	0,16	0,07	3,5	5,2	8,0	12

C. $V_b = 100$ V; $R_a = 0,22$ MΩ; $R_{g2} = 0,82$ MΩ; $R_k = 2,7$ kΩ

$-V_R$ (V)	I_a (mA)	I_{g2} (mA)	$\frac{V_o}{V_i}$	d_{tot} (%) ($V_o=3V_{eff}$)	d_{tot} (%) ($V_o=5V_{eff}$)
0	0,29	0,09	75	0,9	1,1
2,5	0,22	0,07	27	2,6	4,4
5	0,17	0,05	15	3,2	5,0
7,5	0,13	0,04	10	4,0	6,5
10	0,10	0,03	7	5,2	8,0

UAF 42

“Miniwatt”

D. $V_b = 100 \text{ V}$; $R_a = 0,1 \text{ M}\Omega$; $R_{g2} = 0,33 \text{ M}\Omega$; $R_k = 1,5 \text{ k}\Omega$

$-V_R$ (V)	I_a (mA)	I_{g2} (mA)	$\frac{V_o}{V_i}$	$d_{tot} (\%)$ ($V_o=3V_{eff}$)	$d_{tot} (\%)$ ($V_o=5V_{eff}$)
0	0,58	0,21	60	0,9	1,0
2,5	0,43	0,14	25	2,3	4,5
5	0,31	0,10	12	3,5	6,0
7,5	0,21	0,07	7,5	4,7	8,0
10	0,14	0,05	5	7,0	11,0

Operating characteristics of the pentode section as resistance coupled L.F.amplifier in triode connection (g_2 connected to anode)

Données caractéristiques de la partie pentode comme amplificatrice B.F. avec couplage à résistances montée en triode (g_2 reliée à l'anode)

Betriebsdaten des Penthodenteiles als N.F. Verstärker mit Widerstandskopplung in Triodenschaltung (g_2 verbunden mit Anode)

A. $V_b = 170 \text{ V}$; $R_a = 0,1 \text{ M}\Omega$; $R_k = 1,8 \text{ k}\Omega$

$-V_R$ (V)	I_a (mA)	$\frac{V_o}{V_i}$	$d_{tot} (\%)$ ($V_o=3V_{eff}$)	$d_{tot} (\%)$ ($V_o=5V_{eff}$)	$d_{tot} (\%)$ ($V_o=8V_{eff}$)
0	1,20	12	1,4	2,2	3,2
5	0,84	6,5	1,4	2,2	3,7
10	0,58	5	1,4	2,3	3,8
15	0,37	3,5	1,7	2,7	4,6
20	0,22	2,5	3,2	5,0	8,0

B. $V_b = 170 \text{ V}$; $R_a = 0,05 \text{ M}\Omega$; $R_k = 1,2 \text{ k}\Omega$

$-V_R$ (V)	I_a (mA)	$\frac{V_o}{V_i}$	$d_{tot} (\%)$ ($V_o=3V_{eff}$)	$d_{tot} (\%)$ ($V_o=5V_{eff}$)	$d_{tot} (\%)$ ($V_o=8V_{eff}$)
0	2,05	12	1,3	2,0	2,9
5	1,37	6,5	1,6	2,8	4,6
10	0,92	4,5	1,7	2,9	4,8
15	0,60	3,5	2,6	4,0	6,6
20	0,32	2,2	4,5	7,5	11,0

D. $V_b = 100 \text{ V}$; $R_a = 0,1 \text{ M}\Omega$; $R_{g2} = 0,33 \text{ M}\Omega$; $R_k = 1,5 \text{ k}\Omega$

$-V_R$ (V)	I_a (mA)	I_{g2} (mA)	$\frac{V_o}{V_i}$	$d_{tot} (\%)$ ($V_o=3V_{eff}$)	$d_{tot} (\%)$ ($V_o=5V_{eff}$)
0	0,58	0,21	60	0,9	1,0
2,5	0,43	0,14	25	2,3	4,5
5	0,31	0,10	12	3,5	6,0
7,5	0,21	0,07	7,5	4,7	8,0
10	0,14	0,05	5	7,0	11,0

Operating characteristics of the pentode section as resistance coupled L.F. amplifier in triode connection (g_2 connected to anode)

Données caractéristiques de la partie pentode comme amplificatrice B.F. avec couplage à résistances montée en triode (g_2 reliée à l'anode)

Betriebsdaten des Pentodenteiles als N.F. Verstärker mit Widerstandskopplung in Triodenschaltung (g_2 verbunden mit Anode)

A. $V_b = 170 \text{ V}$; $R_a = 0,1 \text{ M}\Omega$; $R_k = 1,8 \text{ k}\Omega$

$-V_R$ (V)	I_a (mA)	$\frac{V_o}{V_i}$	$d_{tot} (\%)$ ($V_o=3V_{eff}$)	$d_{tot} (\%)$ ($V_o=5V_{eff}$)	$d_{tot} (\%)$ ($V_o=8V_{eff}$)
0	1,20	12	1,4	2,2	3,2
5	0,84	6,5	1,4	2,2	3,7
10	0,58	5	1,4	2,3	3,8
15	0,37	3,5	1,7	2,7	4,6
20	0,22	2,5	3,2	5,0	8,0

B. $V_b = 170 \text{ V}$; $R_a = 0,05 \text{ M}\Omega$; $R_k = 1,2 \text{ k}\Omega$

$-V_R$ (V)	I_a (mA)	$\frac{V_o}{V_i}$	$d_{tot} (\%)$ ($V_o=3V_{eff}$)	$d_{tot} (\%)$ ($V_o=5V_{eff}$)	$d_{tot} (\%)$ ($V_o=8V_{eff}$)
0	2,05	12	1,3	2,0	2,9
5	1,37	6,5	1,6	2,8	4,6
10	0,92	4,5	1,7	2,9	4,8
15	0,60	3,5	2,6	4,0	6,6
20	0,32	2,2	4,5	7,5	11,0

D. $V_b = 100$ V; $R_a = 0,1$ M Ω ; $R_{g2} = 0,33$ M Ω ; $R_k = 1,5$ k Ω

$-V_R$ (V)	I_a (mA)	I_{g2} (mA)	$\frac{V_o}{V_i}$	$\dot{\alpha}_{tot}$ (%) ($V_o = 3V_{eff}$)	$\dot{\alpha}_{tot}$ (%) ($V_o = 5V_{eff}$)
0	0,58	0,21	60	0,9	1,0
2,5	0,43	0,14	25	2,3	4,5
5	0,31	0,10	12	3,5	6,0
7,5	0,21	0,07	7,5	4,7	8,0
10	0,14	0,05	5	7,0	11,0

Limiting values of the pentode section

Caractéristiques limites de la partie penthode

Grenzdaten des Pentodenteiles

V_{ao}	= max.	550 V
V_a	= max.	250 V
W_a	= max.	2 W
V_{g2o}	= max.	550 V
V_{g2} ($I_a < 2,5$ mA)	= max.	250 V
V_{g2} ($I_a = 5$ mA)	= max.	125 V
W_{g2}	= max.	0,3 W
I_k	= max.	10 mA
V_{g1} ($I_{g1} = +0,3$ μ A)	= max.	-1,3 V
R_{g1}	= max.	3 M Ω
R_{g3}	= max.	3 M Ω
R_{kf}	= max.	20 k Ω
V_{kf}	= max.	150 V

Limiting values of the diode section

Caractéristiques limites de la partie diode

Grenzdaten des Diodenteiles

V_{dinvp}	= max.	350 V
I_d	= max.	0,8 mA
I_{dp}	= max.	5 mA
R_{kf}	= max.	20 k Ω
V_{kf}	= max.	150 V

“Miniwatt”

UAF 42

C. $V_b = 100 \text{ V}$; $R_a = 0,1 \text{ M}\Omega$; $R_k = 1,8 \text{ k}\Omega$

$-V_R$ (V)	I_a (mA)	$\frac{V_o}{V_I}$	$d_{tot} (\%)$ ($V_o=3V_{eff}$)	$d_{tot} (\%)$ ($V_o=5V_{eff}$)
0	0,70	12	2,0	2,2
2,5	0,50	7	2,4	4,5
5	0,36	5	2,4	4,5
7,5	0,25	4	2,7	4,7
10	0,17	3	4,2	6,6

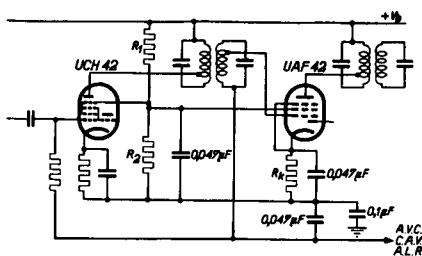
D. $V_b = 100 \text{ V}$; $R_a = 0,05 \text{ M}\Omega$; $R_k = 1,2 \text{ k}\Omega$

$-V_R$ (V)	I_a (mA)	$\frac{V_o}{V_I}$	$d_{tot} (\%)$ ($V_o=3V_{eff}$)	$d_{tot} (\%)$ ($V_o=5V_{eff}$)
0	1,18	12	1,7	2,6
2,5	0,80	7	3,0	5,1
5	0,56	5	3,6	5,7
7,5	0,38	3,5	4,2	6,8
10	0,24	2,5	6,5	10,0

Operating characteristics as I.F. amplifier (screen grids of UAF42 and UCH42 fed from a common potentiometer)

Caractéristiques d'utilisation comme amplificatrice M.F. (grilles-écran des tubes UAF 42 et UCH 42 connectées à un potentiomètre commun)

Betriebsdaten als Z.F. Verstärker (Schirmgitter der Röhren UAF 42 und UCH 42 verbunden mit einem gemeinsamen Spannungsteiler)



C. $V_b = 100 \text{ V}$; $R_a = 0,1 \text{ M}\Omega$; $R_k = 1,8 \text{ k}\Omega$

$-V_R$ (V)	I_a (mA)	$\frac{V_o}{V_i}$	$d_{tot} (\%)$ ($V_o=3\text{V}_{eff}$)	$d_{tot} (\%)$ ($V_o=5\text{V}_{eff}$)
0	0,70	12	2,0	2,2
2,5	0,50	7	2,4	4,5
5	0,36	5	2,4	4,5
7,5	0,25	4	2,7	4,7
10	0,17	3	4,2	6,6

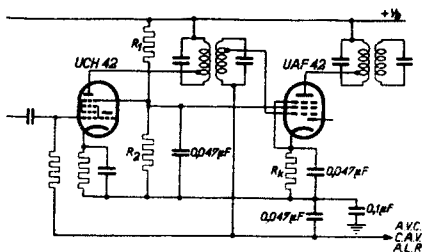
D. $V_b = 100 \text{ V}$; $R_a = 0,05 \text{ M}\Omega$; $R_k = 1,2 \text{ k}\Omega$

$-V_R$ (V)	I_a (mA)	$\frac{V_o}{V_i}$	$d_{tot} (\%)$ ($V_o=3\text{V}_{eff}$)	$d_{tot} (\%)$ ($V_o=5\text{V}_{eff}$)
0	1,18	12	1,7	2,6
2,5	0,80	7	3,0	5,1
5	0,56	5	3,6	5,7
7,5	0,38	3,5	4,2	6,8
10	0,24	2,5	6,5	10,0

Operating characteristics as I.F. amplifier (screen grids of UAF42 and UCH42 fed from a common potentiometer)

Caractéristiques d'utilisation comme amplificatrice M.F. (grilles-écran des tubes UAF 42 et UCH 42 connectées à un potentiomètre commun)

Betriebsdaten als Z.F. Verstärker (Schirmgitter der Röhren UAF 42 und UCH 42 verbunden mit einem gemeinsamen Spannungsteiler)



UAF 42**"Miniwatt"**

$V_a = V_b =$	100	170	V
R1 =	15	15	kΩ
R2 =	22	22	kΩ
Rk =	330	330	Ω
Vg1 =	-1,0 -9,5	-1,8 -15,5	V
Vg2 =	43 58	70 99	V
Ia =	2,3 -	4 -	mA
Ig2 =	0,65 -	1,1 -	mA
S =	1500 15	1750 17,5	μA/V
Ri =	0,95 >10	0,95 >10	MΩ
$\mu g_2 g_1 =$	18 -	18 -	
Req =	6,1 -	7,8 -	kΩ

Operating characteristics as I.F. amplifier (screen grids of UAF42 and UCH41 fed from a common potentiometer)

Caractéristiques d'utilisation comme amplificatrice M.F. (grilles-écran des tubes UAF 42 et UCH 41 connectées à un potentiomètre commun)

Betriebsdaten als Z.F. Verstärker (Schirmgitter der Röhren UAF 42 und UCH 41 verbunden mit einem gemeinsamen Spannungsteiler)

For circuit diagram see page 5.

Pour le schéma voir page 5.

Für das Schaltbild siehe Seite 5.

$V_a = V_b =$	100	170	V
R1 =	12	12	kΩ
R2 =	27	27	kΩ
Rk =	250	250	Ω
Vg1 =	-1,0 -10,5	-1,8 -18	V
Vg2 =	53 69	87 117	V
Ia =	3,0 -	5,5 -	mA
Ig2 =	1,0 -	1,7 -	mA
S =	1850 18	2100 21	μA/V
Ri =	0,75 >10	0,8 >10	MΩ
$\mu g_2 g_1 =$	18 -	18 -	
Req =	6 -	8 -	kΩ

UAF 42**PHILIPS**

V _a =V _b =	100	170	V		
R ₁ =	15	15	kΩ		
R ₂ =	22	22	kΩ		
R _k =	330	330	Ω		
V _{g1} =	-1,0	-9,5	V		
V _{g2} =	43	58	V		
I _a =	2,3	-	mA		
I _{g2} =	0,65	-	mA		
S =	1500	15	1750	17,5	μA/V
R _i =	0,95	>10	0,95	>10	MΩ
μ _{g2g1} =	16	-	16	-	
R _{eq} =	6,1	-	7,8	-	kΩ

Operating characteristics as I.F. amplifier (screen grids of UAF42 and UCH41 fed from a common potentiometer)

Caractéristiques d'utilisation comme amplificateur M.F. (grilles-écran des tubes UAF 42 et UCH 41 connectées à un potentiomètre commun)

Betriebsdaten als ZF-Verstärker (Schirmgitter der Röhren UAF 42 und UCH 41 verbunden mit einem gemeinsamen Spannungsteiler)

For circuit diagram see page 5.

Tour le schéma voir page 5.

Für das Schaltbild siehe Seite 5.

V _a =V _b =	100	170	V		
R ₁ =	12	12	kΩ		
R ₂ =	27	27	kΩ		
R _k =	250	250	Ω		
V _{g1} =	-1,0	-10,5	V		
V _{g2} =	53	69	V		
I _a =	3,0	-	mA		
I _{g2} =	1,0	-	mA		
S =	1850	18	2100	21	μA/V
R _i =	0,75	>10	0,8	>10	MΩ
μ _{g2g1} =	16	-	16	-	
R _{eq} =	6	-	8	-	kΩ

Limiting values of the pentode section
Caractéristiques limites de la partie penthode
Grenzdaten des Penthodenteiles

V _{a₀}	= max.	550 V
V _a	= max.	250 V
W _a	= max.	2 W
V _{g2₀}	= max.	550 V
V _{g2} (I _a < 2,5 mA)	= max.	250 V
V _{g2} (I _a = 5 mA)	= max.	125 V
W _{g2}	= max.	0,3 W
I _k	= max.	10 mA
V _{g1} (I _{g1} = +0,3 μA)	= max.	-1,3 V
R _{g1}	= max.	3 MΩ
R _{g3}	= max.	3 MΩ
R _{fk}	= max.	20 kΩ
V _{fk}	= max.	150 V

Limiting values of the diode section
Caractéristiques limites de la partie diode
Grenzdaten des Diodenteiles

V _d	= max.	200 V ¹⁾
I _d	= max.	0,8 mA
V _d (I _d = +0,3 μA)	= max.	-1,3 V
R _{fk}	= max.	20 kΩ
V _{fk}	= max.	150 V

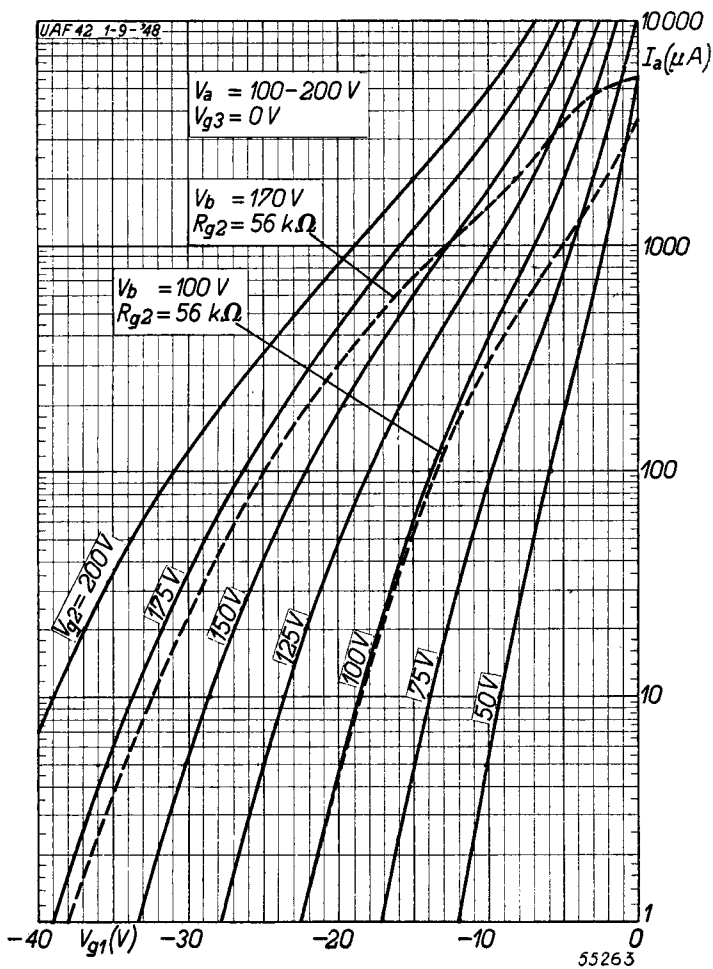
¹⁾ Peak value; valeur de crête; Scheitelwert

Limiting values of the pentode section
Caractéristiques limites de la partie penthode
Grenzdaten des Pentodenteiles

V_{a_0}	= max.	550 V
V_a	= max.	250 V
W_a	= max.	2 W
V_{g20}	= max.	550 V
V_{g2} ($I_a < 2,5 \text{ mA}$)	= max.	250 V
V_{g2} ($I_a = 5 \text{ mA}$)	= max.	125 V
W_{g2}	= max.	0,3 W
I_k	= max.	10 mA
V_{g1} ($I_{g1} = +0,3 \mu\text{A}$)	= max.	-1,3 V
R_{g1}	= max.	3 MΩ
R_{g3}	= max.	3 MΩ
R_{kf}	= max.	20 kΩ
V_{kf}	= max.	150 V

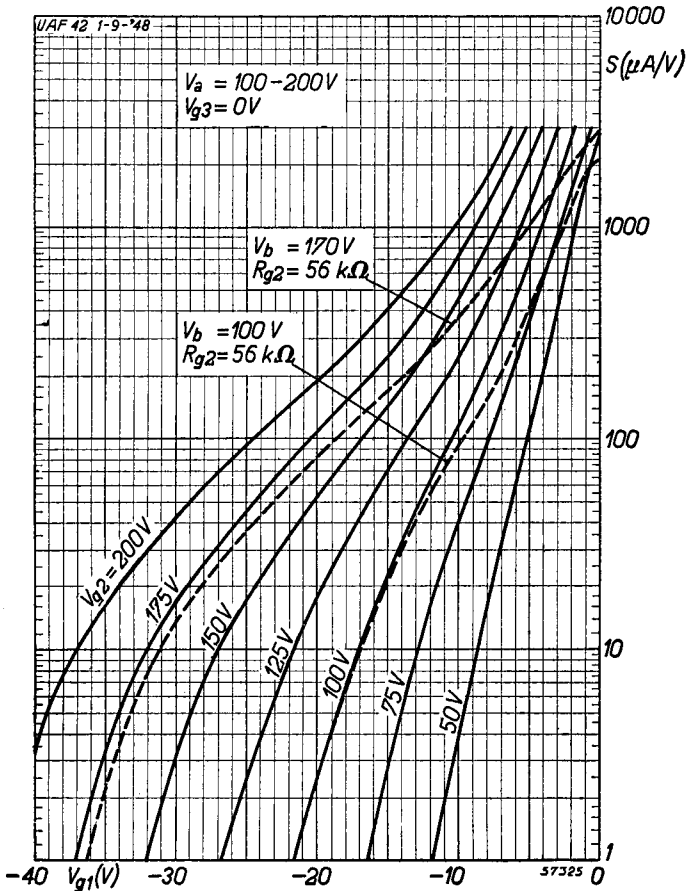
Limiting values of the diode section
Caractéristiques limites de la partie diode
Grenzdaten des Diodenteiles

V_{dinvp}	= max.	350 V
I_d	= max.	0,8 mA
I_{dp}	= max.	5 mA
R_{kf}	= max.	20 kΩ
V_{kf}	= max.	150 V

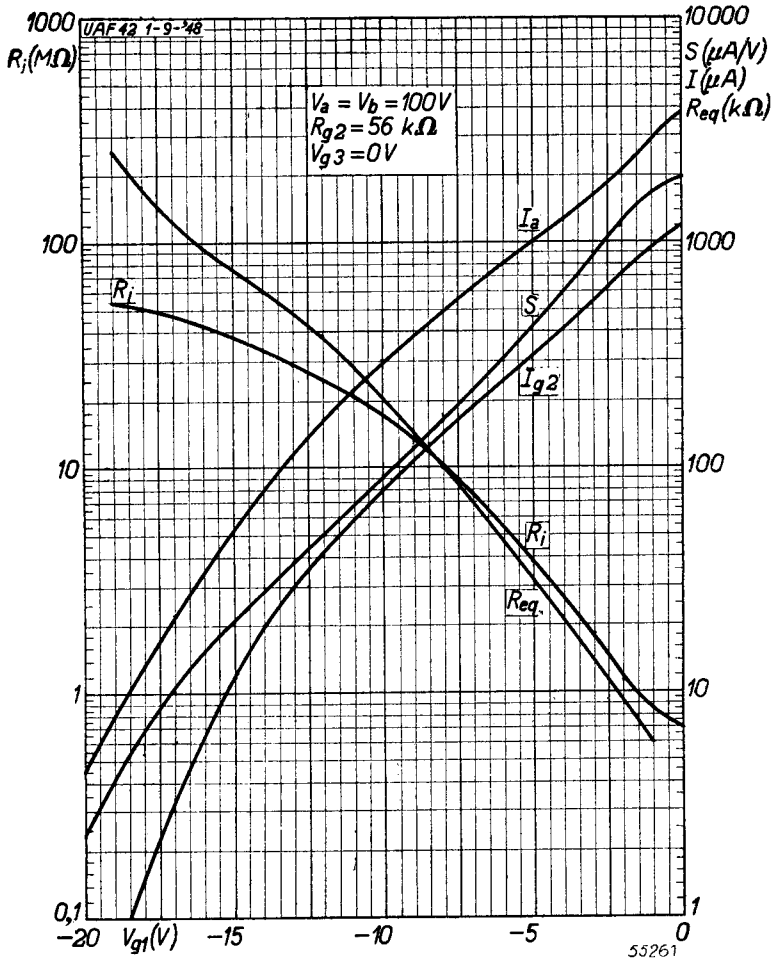


UAF 42

PHILIPS

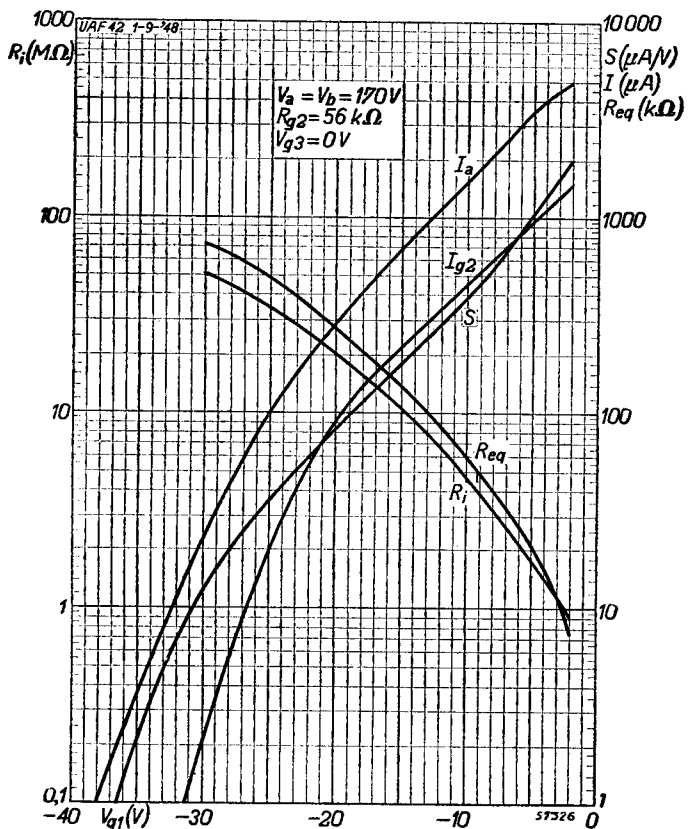


B



UAF 42

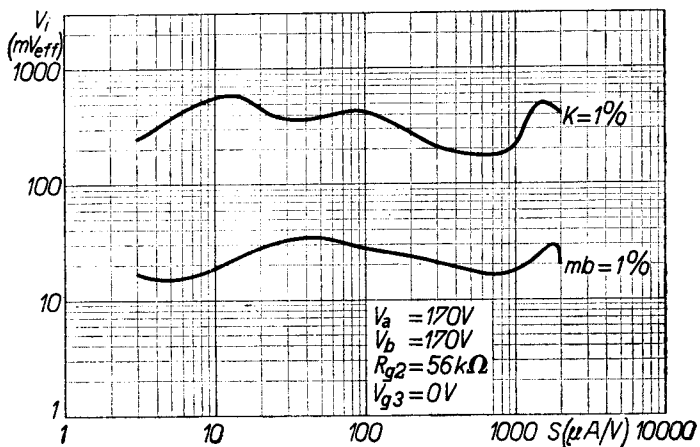
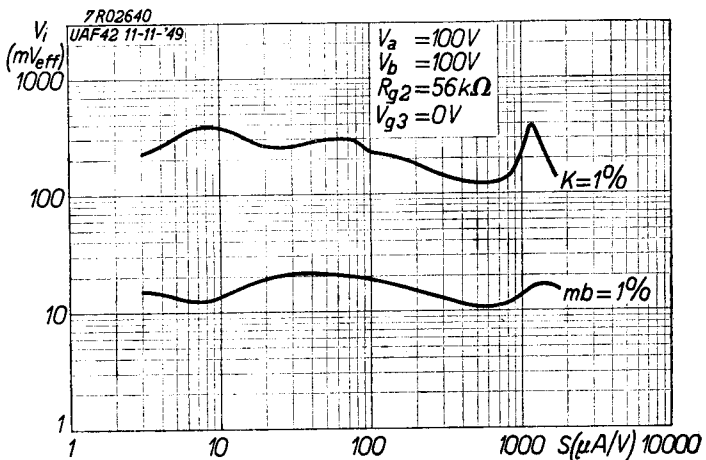
PHILIPS



D

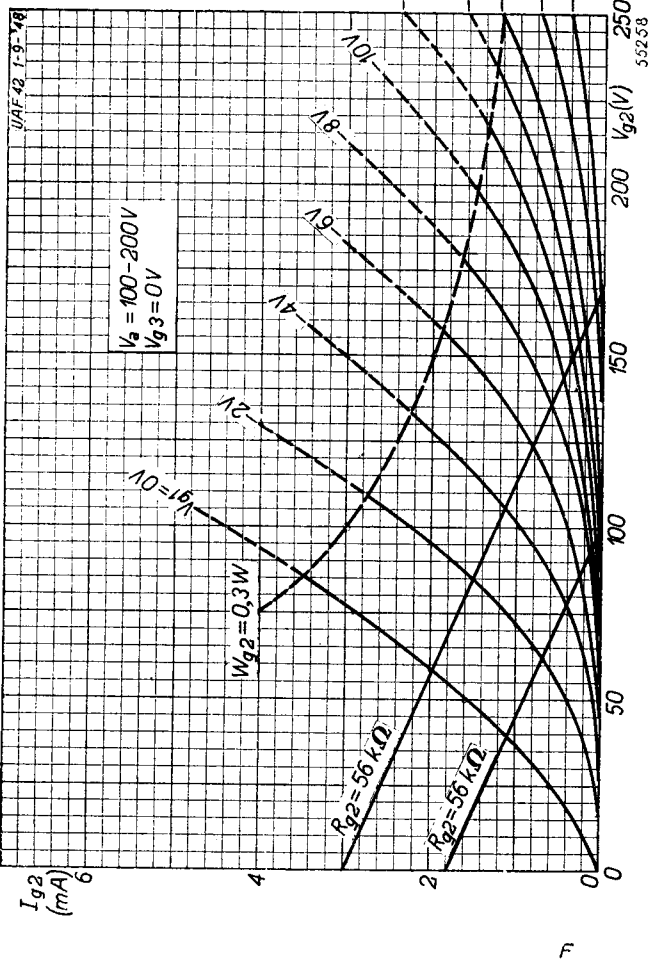
PHILIPS

UAF 42



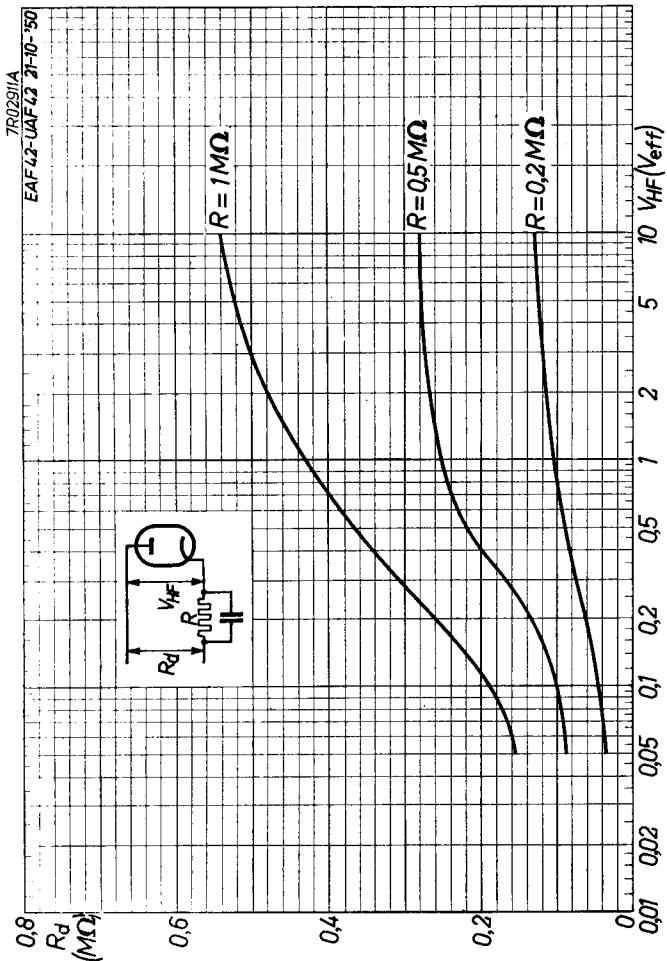
UAF 42

PHILIPS



"Miniwatt"

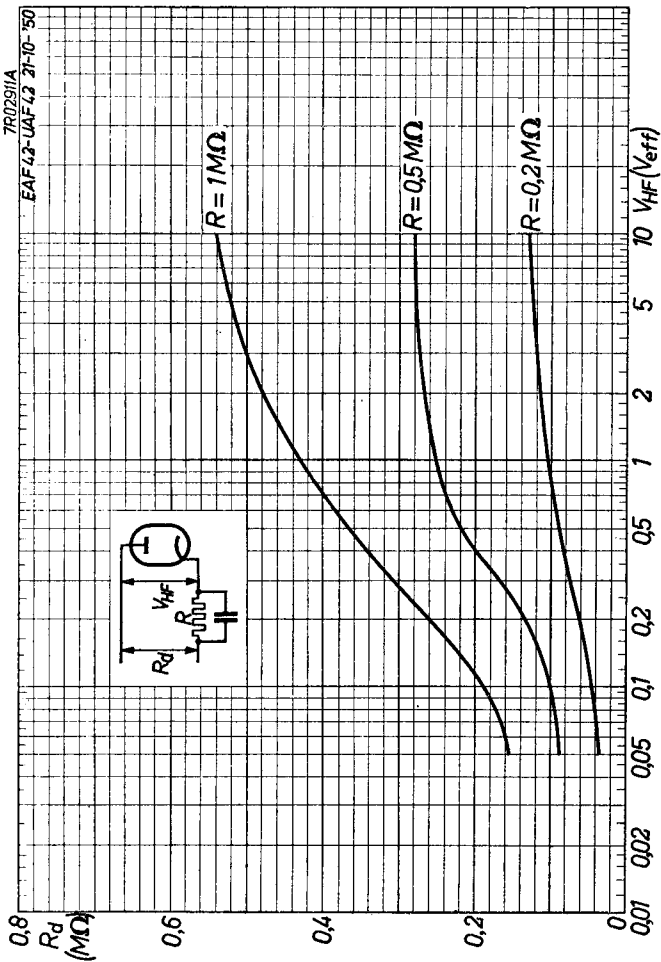
UAF 42



12.12.1950

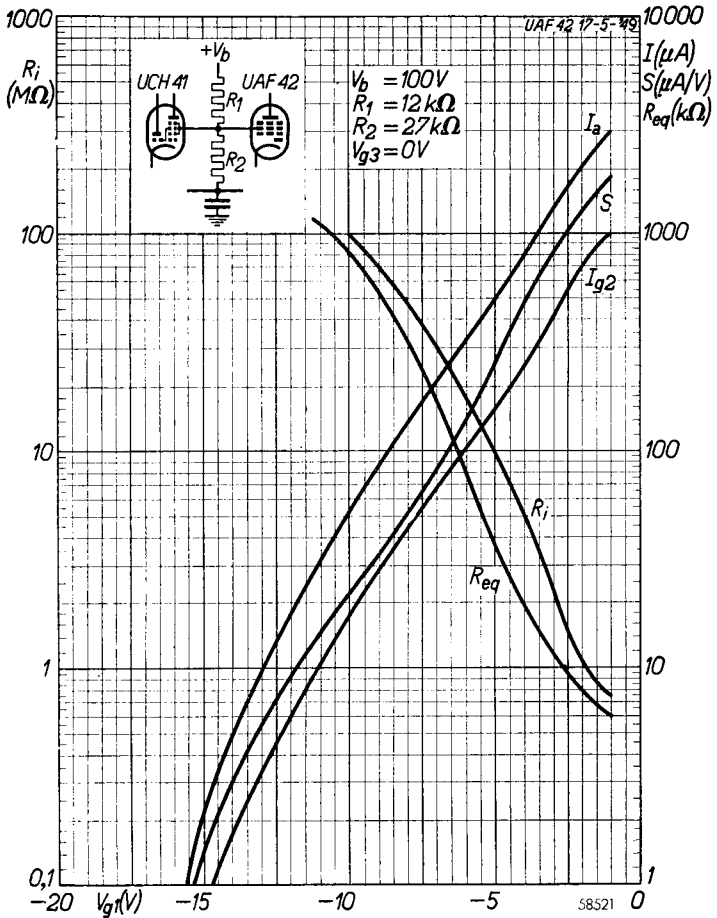
6

7R02SH/A
EAF42-UAF42 21-10-'50



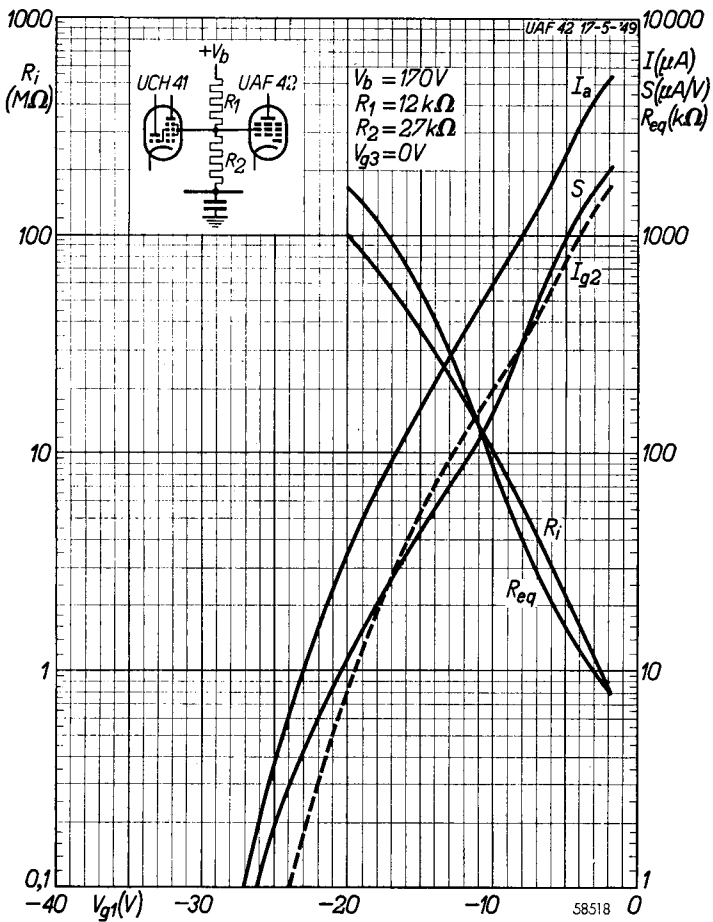
UAF 42

"Miniwatt"



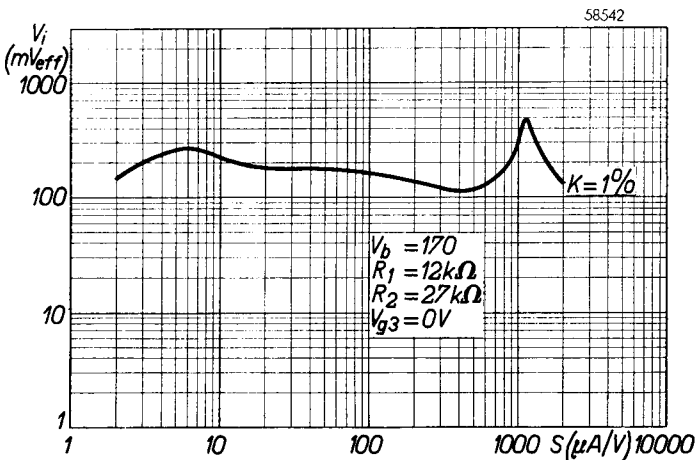
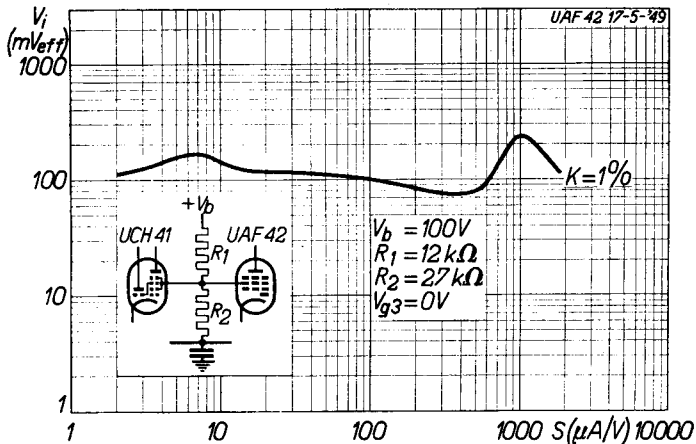
"Miniwatt"

UAF 42



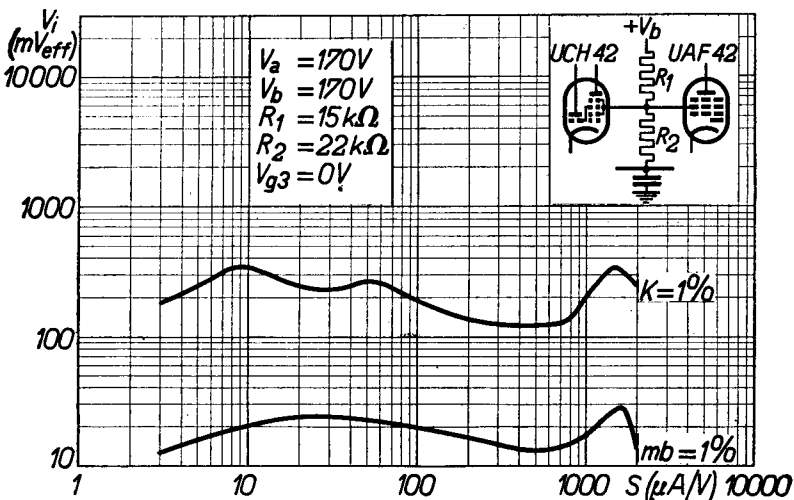
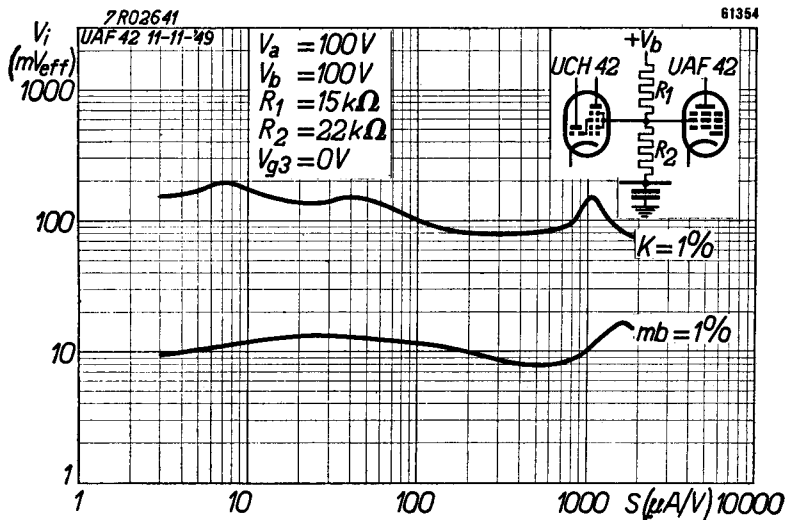
UAF 42

"Miniwatt"



"Miniwatt"

UAF 42



PHILIPS

Electronic
Tube

HANDBOOK

UAF42

page	sheet	date
1	1	1948.11.08
2	1	1953.12.12
3	2	1948.11.08
4	2	1953.12.12
5	3	1948.11.08
6	3	1953.12.12
7	3	1960.10.10
8	4	1948.11.08
9	4	1953.12.12
10	4	1960.10.10
11	5	1949.04.20
12	5	1953.12.12
13	6	1949.04.20
14	6	1953.12.12
15	7	1949.11.11
16	7	1953.12.12
17	A	1949.03.01
18	B	1949.03.01
19	C	1949.03.01

20	D	1949.03.01
21	E	1949.11.11
22	F	1949.11.11
23	G	1950.12.12
24	G	1957.10.10
25	H	1950.12.12
26	I	1949.06.06
27	J	1949.06.06
28	K	1949.11.11
29, 30	FP	2000.06.10